

МОДЕЛИРОВАНИЕ ИЗНОСА И СТОЙКОСТИ ИНСТРУМЕНТА ПРИ ТОКАРНОЙ ОБРАБОТКЕ СЛОЖНЫХ КОНТУРОВ С ПЕРЕМЕННОЙ СКОРОСТЬЮ РЕЗАНИЯ

Белорусский национальный технический университет
Минск, Беларусь

Большинство работ, посвященных математическому моделированию процессов обработки материалов [1], выполнены для стационарных процессов резания. Последние характеризуются постоянством средних значений (математических ожиданий) и полей рассеяния (дисперсий) параметров процесса резания (глубины резания, подачи, скорости резания, геометрии режущего инструмента, свойств обрабатываемого материала и др.) за период стойкости инструмента. Однако, при обработке сложных контуров (конуса, сферы, эллипсоида, фасонной поверхности т.д.) на многоцелевых станках с ЧПУ характерны нестационарные процессы резания. Частным случаем нестационарного резания является переменное резание. Последнее отличается тем, что один или несколько параметров режима резания изменяются непрерывно в течение рабочего хода инструмента. В частности, при точении поверхностей, образующая которых не параллельна оси вращения детали, скорость резания v изменяется в соответствии с зависимостью

$$v = \frac{\pi d n}{1000},$$

где d - диаметр обработки; n - постоянная частота вращения шпинделя.

В работе [2] получены в общем виде зависимости для определения периода стойкости T и величины износа h_p инструмента при точении деталей с переменной скоростью и постоянными глубиной резания t и подачей S :

$$T = C_T t^x s^y \left(\frac{\pi n}{1000} \right)^u \int_{\tau_n}^{\tau_k} \frac{d^\mu}{d^\mu} d\tau = C_T t^x s^y V_{\text{экв}}^\mu; \quad (1)$$

$$h_x = C_u t^q s^m \int_{\tau_n}^{\tau_k} d^m d\tau = h_x - h_v = \int_{\tau_n}^{\tau_k} V_h d\tau, \quad (2)$$

где $C_T, C_u, x, y, \mu, q, u, m$ - эмпирические параметры в степенных зависимостях для определения периода стойкости T и скорости изнашивания V_h инструмента при стационарном резании, т.е. $T = C_T t^x s^y v^\mu$ и $V_h = C_u t^q s^m v^m$ [3]; τ_n и τ_k - соответственно время начала и конца обработки элементарной поверхности; h_n и h_k - соответственно величина износа резца в начале и в конце обработки элементарной поверхности; $V_{\text{экв}} = \pi d_{\text{экв}} n / 1000$ - эквивалентная скорость резания; $d_{\text{экв}}$ - эквивалентный диаметр обработки, т.е. такой постоянный диаметр, который соответствует эквивалентному периоду стойкости $T_{\text{экв}}$ при стационарном резании.

Из приведенных выражений видно, что переменным параметром является диаметр обработки, который, в свою очередь, определяется геометрией обрабатываемой детали.

В общем случае при обработке элементарной поверхности (рис. 1), образующая которой описана в декартовых координатах уравнением $Y = f(X)$, диаметр обработки в любой момент времени равен $d = 2Y = 2f(X)$.

Длина перемещения вершины резца вдоль образующей поверхности за время t определяется выражением

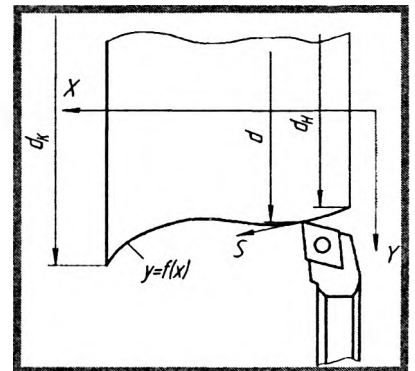


Рисунок 1 – Токарная обработка поверхности $Y = f(X)$ с переменной скоростью резания

$$L = ns\tau = \int_0^x \sqrt{1 + [f'(X)]^2} dx,$$

где $f'(X)$ - первая производная от функции $f(X)$.

Тогда

$$\tau = \frac{1}{ns} \int_0^x \sqrt{1 + [f'(X)]^2} dx.$$

Отсюда получим

$$\tau_v = \frac{1}{ns} \int_0^{x_v} \sqrt{1 + [f'(X)]^2} dx; \quad \tau_k = \frac{1}{ns} \int_0^{x_k} \sqrt{1 + [f'(X)]^2} dx,$$

где x_n, x_k - координаты вершины реза по оси OX , соответствующие началу и концу обработки элементарной поверхности $Y = f(X)$.

Значения x_n, x_k равны

$$x_v = F(d_v) / 2; \quad x_k = F(d_k) / 2,$$

где F - обратная функция от $Y = f(X)$.

Используя выражения (1) и (2), после замены переменной получим

$$T = C_T t^x s^y \left(\frac{2\pi m}{1000} \right)^\mu \frac{\int_{x_v}^{x_k} \sqrt{1 + [f'(X)]^2} dx}{\int_{x_v}^{x_k} \frac{\sqrt{1 + [f'(X)]^2} dx}{[f(X)]^\mu}}; \quad d_{\text{экв}} = \left[\frac{2^\mu \int_{x_v}^{x_k} \sqrt{1 + [f'(X)]^2} dx}{\int_{x_v}^{x_k} \frac{\sqrt{1 + [f'(X)]^2} dx}{[f(X)]^\mu}} \right]^{\frac{1}{\mu}};$$

$$h_\pi = C_u t^q s^u \left(\frac{2\pi m}{1000} \right)^m \int_{x_v}^{x_k} [f(X)]^m \sqrt{1 + [f'(X)]^2} dx.$$

Полученные зависимости позволяют определить период стойкости (эквивалентный диаметр) и величину износа инструмента при токарной обработке с переменной скоростью резания деталей со сложным контуром. Используя значения τ_n и τ_k можно также определить время обработки элементарной поверхности

$$\tau_\pi = \tau_k - \tau_v.$$

Рассмотрим решение данной задачи на примерах обработки некоторых элементарных поверхностей.

Исходные данные: $n = 300 \text{ м}\mu\text{в}^{-1}$; $s = 0,35 \text{ м}\mu/\xi\alpha$; $t = 1 \text{ м}\mu$. Заготовка - чугун СЧ21, НВ 190. Резец - ВК6, $\varphi = 60^\circ$, $\varphi_1 = 20^\circ$, $\alpha = 10^\circ$, $\gamma = 7^\circ$, $\lambda = 0^\circ$. Параметры формул (1) и (2):

$$C_T = 215^5; \quad x = -0,75; \quad y = -1; \quad \mu = -5; \quad C_u = 0,2 \times 10^{-3}; \quad q = 0,7; \quad u = 0,8; \quad m = 2,02.$$

- Уравнение образующей поверхности в декартовых координатах задаются двумя способами:
- в виде теоретического уравнения;
- в виде аппроксимирующего полинома.

Сравнение полученных результатов позволит оценить точность предложенных моделей износа и стойкости.

Обработка сферической поверхности (рис. 2)

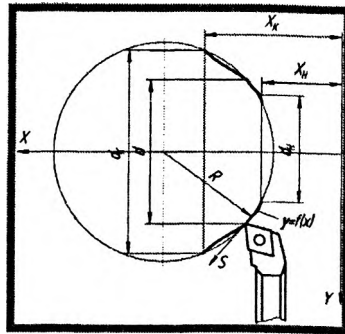
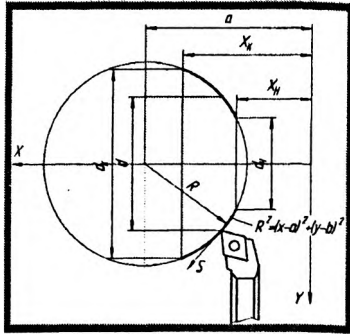
Примем $d_v = 75 \text{ мм}$ и $d_k = 150 \text{ мм}$.

Задание образующей сферической поверхности (окружности) теоретическим уравнением (рис. 2,а)

Уравнение окружности

$$R^2 - (x - a)^2 + (y - b)^2,$$

где a и b - смещение центра соответственно по осям X и Y ; R - радиус образующей.



а)

б)

Рисунок 2 – Точение сферической поверхности с переменной скоростью резания

Примем $R = 75$ мм. В данном примере окружность смещена относительно начала координат по оси X на величину 75 мм. Тогда зависимости $Y = f(X)$ и $f'(X)$ после преобразования примут вид

$$y = \sqrt{75^2 - (x - 75)^2},$$

$$y' = \frac{2x - 150}{2[5625 - (x - 75)^2]^{1/2}}.$$

По приведенным выше зависимостям получим: $x_v = 10$ мм;

$x_k = 75$ мм; $d_{\text{окр}} = 130,9$ мм; $V_{\text{окр}} = 123,4$ м/мин; $T = 459$ мин; $h_x = 1,08$ мкм; $\tau_v = 0,374$ мин; $\tau_x = 1,12$ мин; $\tau_x = 0,738$ мин.

Замена уравнения окружности полиномом (рис. 2,б)

Аппроксимируем окружность полиномом пятого порядка:

$$y = 4 \times 10^{-8} x^5 - 9 \times 10^{-6} x^4 + 0,00096 x^3 - 0,063 x^2 + 2,68 x + 16,05.$$

Первая производная - $y' = -0,126x + 0,00288x^2 - \frac{9x^3}{250000} + \frac{x^4}{500000} + 2,68.$

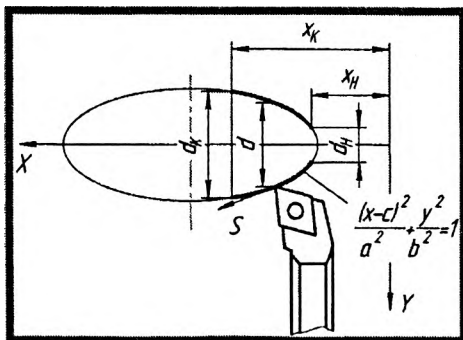
Аналогично предыдущему получим: $x_v = 10,5$ мм; $x_k = 75$ мм; $d_{\text{окр}} = 132,9$ мм; $V_{\text{окр}} = 125,3$ м/мин; $T = 47,7$ мин; $h_x = 1,07$ мкм; $\tau_x = 0,749$ мин.

Как следует из сравнения полученных результатов, замена теоретического уравнения образующей элементарной поверхности аппроксимирующим полиномом обеспечивает высокую точность результатов моделирования стойкости и износа инструмента.

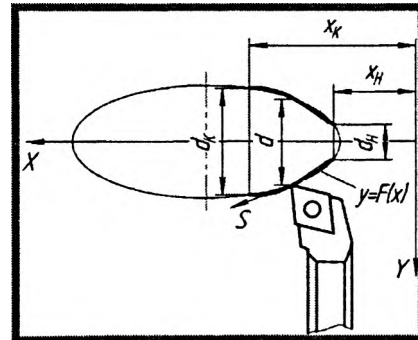
Обработка эллипсоида (рис. 3)

Задание образующей (эллипса) теоретическим уравнением (рис. 3,а)

Основные параметры эллипса – размеры его полуосей a и b , которые соответственно равны $a = 200$ мм; $b = 100$ мм.



а)



б)

Рисунок 3 - Точение эллипсоида с переменной скоростью резания

Уравнение эллипса

$$\frac{(x - c)^2}{a^2} + \frac{y^2}{b^2} = 1,$$

где c - смещение центра по оси X .

Примем $c = 200$ мм. Тогда уравнение эллипса $Y = f(X)$ в декартовых координатах будет иметь вид

$$y = \sqrt{b^2 - \frac{b^2}{a^2} (x - c)^2} = \sqrt{100^2 - \frac{1}{4} (x - 200)^2},$$

а первая производная

$$y' = \frac{1}{4[(-x^2) + 400x]^{\frac{1}{2}}} [-2x + 400].$$

Примем $d_k = 150$ мм; $d_v = 50$ мм. Тогда по приведенным выше зависимостям получим: $x_v = 6,35$ мм; $x_k = 67,71$ мм; $d_{\text{экв}} = 118,8$ мм; $V_{\text{экв}} = 112$ м/мин; $T = 74,6$ мин; $h_x = 0,913$ мкм; $\tau_v = 0,248$ мин; $\tau_k = 1,016$ мин; $\tau_x = 0,768$ мин.

Замена уравнения эллипса полиномом (рис. 3,б)

При аппроксимации эллипса полиномом получаем

$$y = -3 \times 10^{-6} x^4 + 5,6 \times 10^{-4} x^3 - 0,044 x^2 + 2,244 x + 12,55;$$

$$y' = \frac{-3}{250000} x^3 + 0,168 \times 10^{-2} x^2 - 0,88 \times 10^{-1} x + 2,244.$$

Аналогично предыдущему получим: $x_v = 6,35$ мм; $x_k = 67,7$ мм; $d_{\text{экв}} = 118$ мм; $V_{\text{экв}} = 111,2$ м/мин; $T = 77,1$ мин; $h_x = 0,89$ мкм; $\tau_x = 0,761$ мин.

Обработка конической поверхности (рис. 4)

При обработке конической поверхности диаметр обработки в любой момент времени τ определяется выражением

$$\tau = 2nst \sin \alpha,$$

где α - половина угла конуса.

Тогда

$$\tau_v = \frac{d_v}{2ns \sin \alpha}; \quad \tau_k = \frac{d_k}{2ns \sin \alpha},$$

где d_v , d_k - соответственно минимальный и максимальный диаметры обработки.

Эквивалентный диаметр, период стойкости и величина износа резца [2]

$$d_{\text{экв}} = \left[\frac{(1 - \mu)(d_k - d_v)}{d_k^{1-\mu} - d_v^{1-\mu}} \right]^{\frac{1}{\mu}}; \quad T = C_T t^x s^y \left(\frac{\pi n}{1000} \right)^{\mu} \frac{(1 - \mu)(d_k - d_v)}{d_k^{1-\mu} - d_v^{1-\mu}};$$

$$h_x = C_U t^q s^u \left(\frac{\pi n}{1000} \right)^m \frac{d_k^{m+1} - d_v^{m+1}}{2ns \sin \alpha (m + 1)}.$$

Примем $d_k = 120$ мм; $d_v = 50$ мм; $\alpha = 10^\circ$.

Получим: $d_{\text{экв}} = 93,37$ мм; $V_{\text{экв}} = 78,9$ м/мин; $T = 249,6$ мин; $h_x = 1,23$ мкм; $\tau_x = 1,92$ мин.

Обработка торцевой поверхности (рис. 5)

Обработка торцевой поверхности является частным случаем обработки конуса с углом при вершине $\alpha = 90^\circ$. Выполним расчет при $n = 500 \mu\text{v}^{-1}$.

Примем $d_v = 60$ мм и $d_k = 120$ мм. Получим:

$d_{\text{экв}} = 96$ мм; $V_{\text{экв}} = 90,5$ м/мин; $T = 216$ мин; $h_x = 0,2$ мкм; $\tau_x = 0,286$ мин.

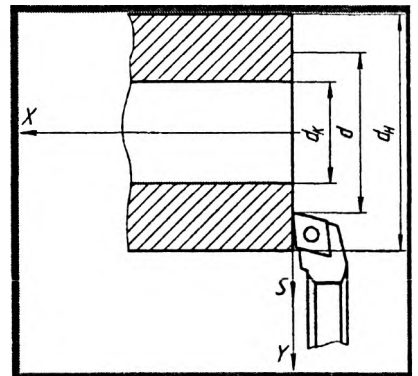


Рисунок 5 – Схема обработки торцевой поверхности

Токарная обработка контура с образующей в виде гиперболы (рис. 6)

Задание образующей (гиперболы) теоретическим уравнением (рис. 6,а)

Уравнение гиперболы в общем виде

$$\frac{x^2}{a^2} - \frac{y^2}{b^2} = 1.$$

Примем $a = 50$ мм; $b = 30$ мм. Тогда уравнение гиперболы

$$\frac{x^2}{50^2} - \frac{y^2}{30^2} = 1.$$

После преобразования

$$y = \sqrt{\frac{9}{25}x^2 - 900};$$

$$y' = \frac{3x}{(15x^2 - 22500)^{\frac{1}{2}}}.$$

Выполним расчет при $n = 500 \mu\text{m} \cdot \text{min}^{-1}$.

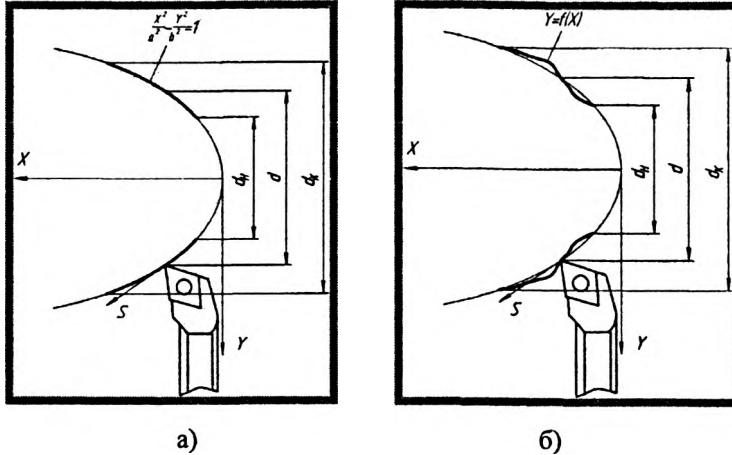


Рисунок 6 – Схема обработки контура, описанного гиперболой

Примем $d_k = 75 \text{ мм}$; $d_v = 60 \text{ мм}$.

Получим: $x_v = 70,7 \text{ мм}$; $x_k = 80 \text{ мм}$; $d_{\text{вкп}} = 68,1 \text{ мм}$; $V_{\text{вкп}} = 107 \text{ м/мин}$; $T = 936 \text{ мин}$;
 $h_x = 12,8 \text{ мкм}$; $\tau_x = 0,068 \text{ мин}$.

Замена уравнения гиперболы полиномом (рис. 6,б)

При аппроксимации гиперболы полиномом получаем

$$y = 1 \times 10^{-4} x^3 - 0,02627 x^2 + 3,086 x - 91,96; \quad y' = \frac{3x^2}{10000} - 0,052524x + 3,086.$$

Аналогично предыдущему получим: $x_v = 70,7 \text{ мм}$; $x_k = 80,04 \text{ мм}$; $d_{\text{вкп}} = 69 \text{ мм}$;
 $V_{\text{вкп}} = 108,3 \text{ м/мин}$; $T = 882 \text{ мин}$; $h_x = 13,2 \text{ мкм}$; $\tau_x = 0,069 \text{ мин}$.

Выводы

Анализ полученных результатов показывает следующее:

- разработанные математические модели позволяют определить период стойкости и величину износа инструмента при обработке с переменной скоростью резания любой аналитически описываемой поверхности;
- замена теоретического уравнения аппроксимирующим полиномом обеспечивает высокую точность моделирования периода стойкости и износа инструмента;
- использование уравнения в виде полинома позволяет использовать разработанные модели при программировании обработки сложных контуров средствами современных систем ЧПУ.

Реальные детали, обрабатываемые на станках с ЧПУ, представляют собой совокупность нескольких элементарных поверхностей. Математические зависимости, позволяющие определить T , h_p и τ_p , в этом случае имеют вид [4]:

$$T = \frac{\sum_{i=1}^N \tau_{pi}}{\sum_{i=1}^N \frac{\tau_{pi}}{T_i}}; \quad (3) \quad h_x = \sum_{i=1}^N h_{pi}; \quad (4) \quad \tau_x = \sum_{i=1}^N \tau_{pi}, \quad (5)$$

где τ_{pi} , T_i , h_{pi} - соответственно время резания, период стойкости и износ резца при точении i -й элементарной поверхности; N - число элементарных поверхностей на детали.

Обработка сложного профиля

Рассмотрим обработку сложного контура, состоящего из торцевой, конической, сферической и эллиптической поверхностей, а также поверхности, образующая которой описана полиномом (рис. 7).

Выполним расчет при $n = 300 \text{ } \mu\text{m} \cdot \text{v}^{-1}$.

Результаты моделирования износа и стойкости инструмента приведены в табл. 1.

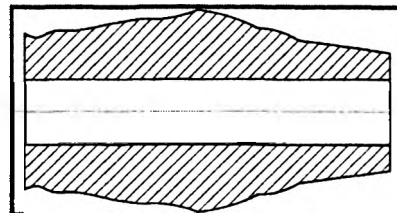


Рисунок 7 – Обработка сложного контура с переменной скоростью резания

Таблица 1 – Результаты моделирования износа и стойкости инструмента при обработке сложного контура

Элементарная поверхность	Параметры образующей	d_n	d_k	$d_{экв}$	$V_{экв}$	T_i	h_{pi}	τ_{pi}
Торец	-	60	100	83	78,4	444	0,6	1,097
Конус	$\alpha = 10^\circ$	110	100	105	99	137	0,51	0,546
Сфера	$R = 80_{\text{мм}}$	110	160	147	138,5	25,8	1,08	0,619
Эллипсоид	$a = 200,$ $b = 100$	160	180	171	161	12	0,92	0,327
Контур, описанный полиномом	$y = -9 \times 10^{-9} x^5 + 2 \times 10^{-6} x^4 -$ $- 9 \times 10^{-5} x^3 + 0,247x + 90$	180	126	190,5	179,5	4,26	3,61	0,955

Время на обработку контура составит:

$$\tau_x = 1,097 + 0,546 + 0,619 + 0,327 + 0,955 = 3,544 \text{ мин.}$$

Период стойкости инструмента:

$$T = \frac{4}{\frac{1,097}{444} + \frac{0,546}{137} + \frac{0,619}{25,8} + \frac{0,327}{12} + \frac{0,955}{4,26}} = 12,57 \text{ мин.}$$

Износ инструмента за время обработки детали:

$$h_x = 0,6 + 0,507 + 1,083 + 0,92 + 1,418 = 6,72 \text{ мкм.}$$

Таким образом, разработанные математические модели (3 – 5) позволяют определить период стойкости, величину износа инструмента и время резания при обработке с переменной скоростью резания сложных контуров, включающих несколько элементарных поверхностей. Такие модели могут быть использованы как при назначении параметров режима резания на токарных многоцелевых станках, так и для оптимизации режима резания методами математического моделирования.

ЛИТЕРАТУРА

1. Соломенцев Ю.М., Басин А.М. Оптимизация технологических процессов механической обработки и сборки в условиях серийного производства. М. НИИМаш, 1977. – 72с.
2. В.И.Туромша, Чан Ким Тоан. Токарная обработка деталей сложной формы с переменной скоростью резания. // Весці Акадэміі навук Беларусі. Сер. фіз.-тэхн. навук. 1995. №2. С. 48-53.
3. Справочник технолога-машиностроителя / Под ред. А.Г. Косиловой и Р.К. Мещерякова. В 2 т. М., 1985. Т. 2. 584 с.
4. П.И.Ящерицын, В.И.Туромша, Чан Ким Тоан. Период стойкости и износ резцов при нестационарном резании на токарных станках с ЧПУ. // Весці Акадэміі навук Беларусі. Сер. фіз.-тэхн. навук. 1993. №4. С. 40-47.